

6 - 9 2000年10月31日三重県南部の地震 (M5.5) 前後の周辺地域における地下水位・歪観測結果

Temporal Variation in the Groundwater Level and Crustal Strain before and after the Earthquake (M5.5) Occurring in the Southern Part of the Mie Prefecture on October 31, 2000

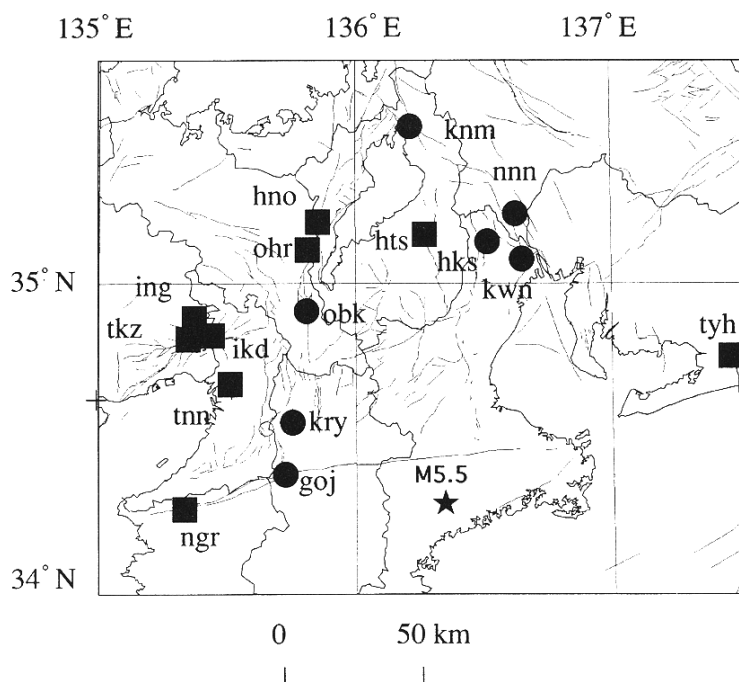
地質調査所

Geological Survey of Japan

10月31日三重県南部の地震 (M5.5, 深さ44 km) 前後の周辺地域におけるテレメータによる地下水位およびボアホール型歪計による地殻歪 (水平3成分) の観測結果を報告する。観測点は16点 (観測井は20井戸) である (第1図)。

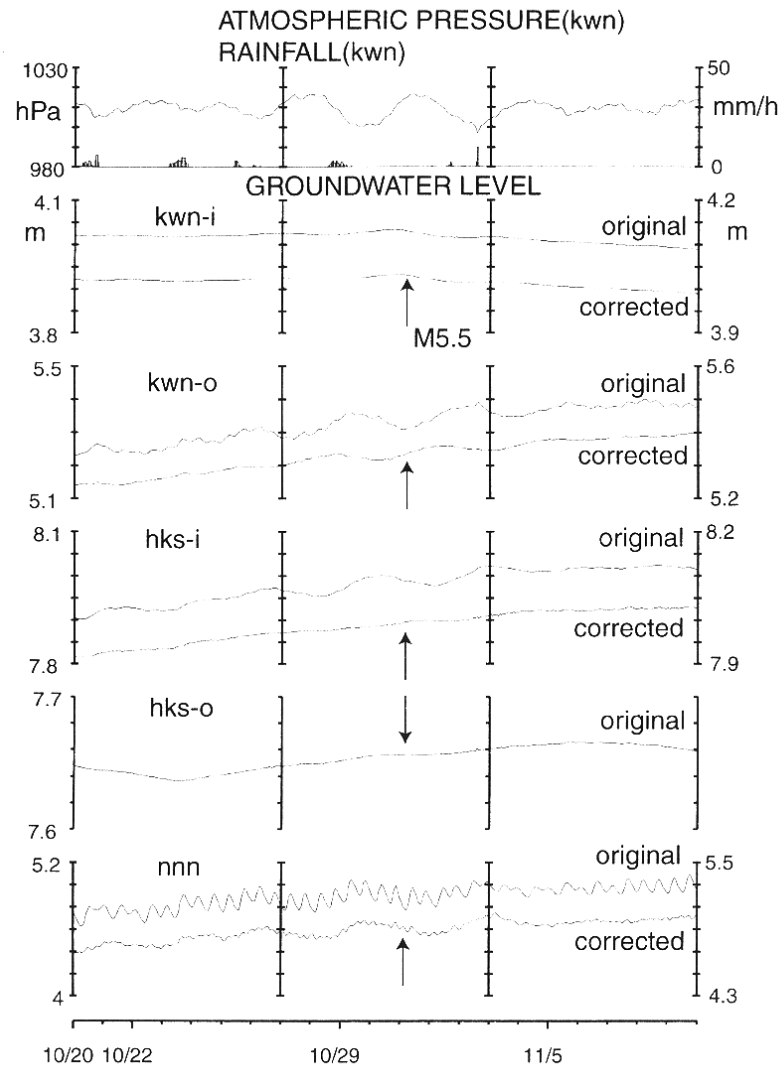
第2~7図に, 2000年10月20日~11月9日の21日間における地下水位と歪の1時間値を示してある。一部の観測井にコサイスマック~ポストサイスマックな変化が認められるが, 地震前に特に異常な変化は認められない。

(小泉尚嗣・高橋 誠・佐藤 努・松本則夫・伊藤久男・桑原保人・長 秋雄・佐藤隆司)



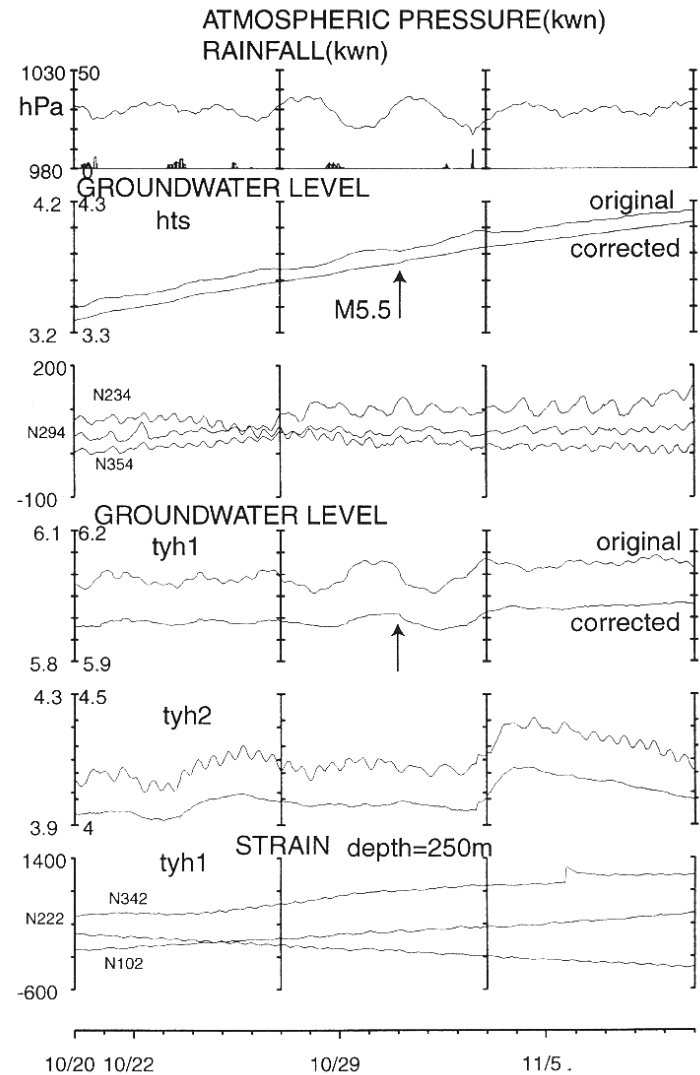
第1図 地下水観測点 ( ● ) と活断層分布および三重県南部の地震 (M5.5) の震央 ( ★ )。● は地下水のみの観測点で, ■ はボアホール型歪計を併設している観測点。

Fig.1 Distribution of active faults and groundwater observation stations of Geological Survey of Japan ( ● ). ★ shows the epicenter of the earthquake (M5.5) in the Southern Part of the Mie Prefecture. At the stations shown by the solid squares, crustal strain is also observed by 3-component borehole-type strain meters.



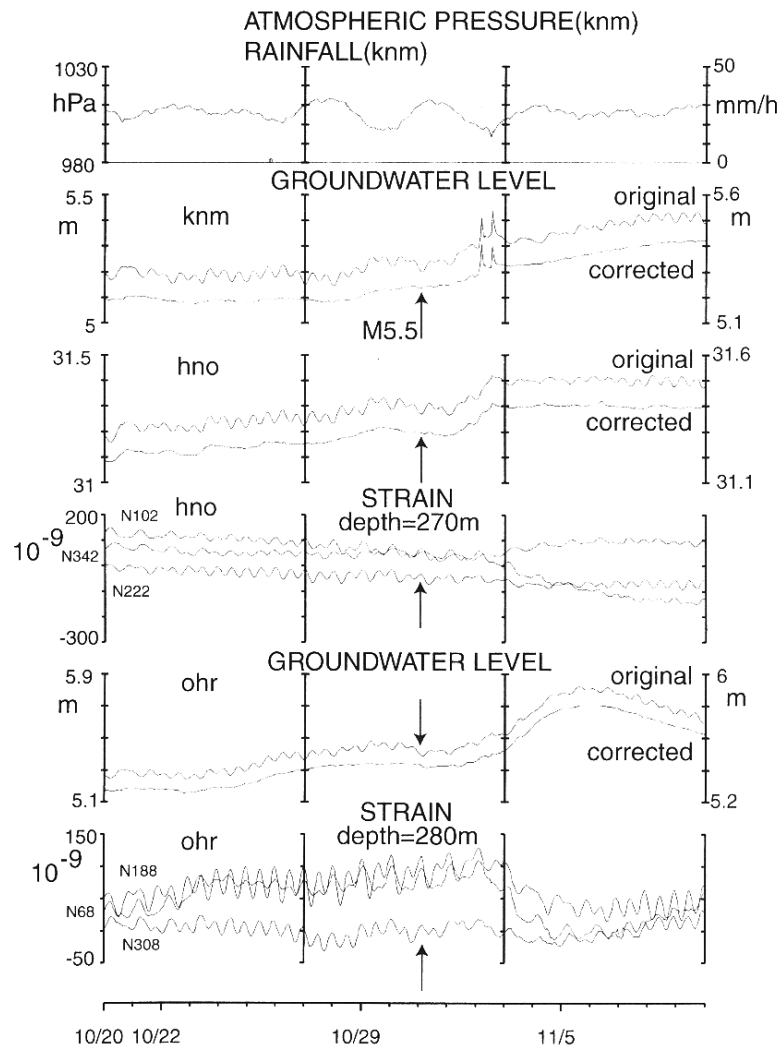
第 2 図 kwn-i・kwn-o・hks-i・hks-o・nnnにおける2000年10月20日～11月9日の地下水位観測結果。

Fig.2 Observational results of groundwater levels at kwn-i, kwn-o, hks-i, hks-o and nnn from October 20, 2000 to November 9, 2000.



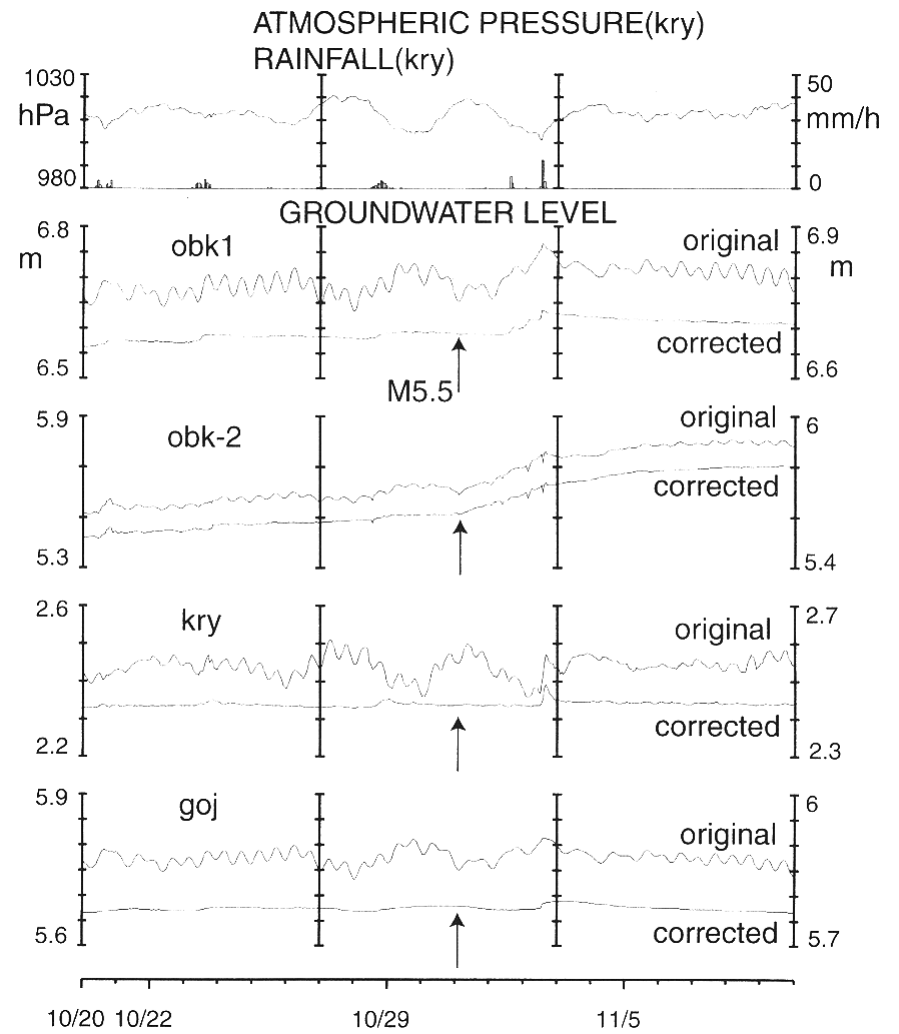
第 3 図 hts・tyh1における地下水位と地殻歪の観測結果。

Fig.3 Observational results of crustal strains and groundwater levels at hts and tyh.



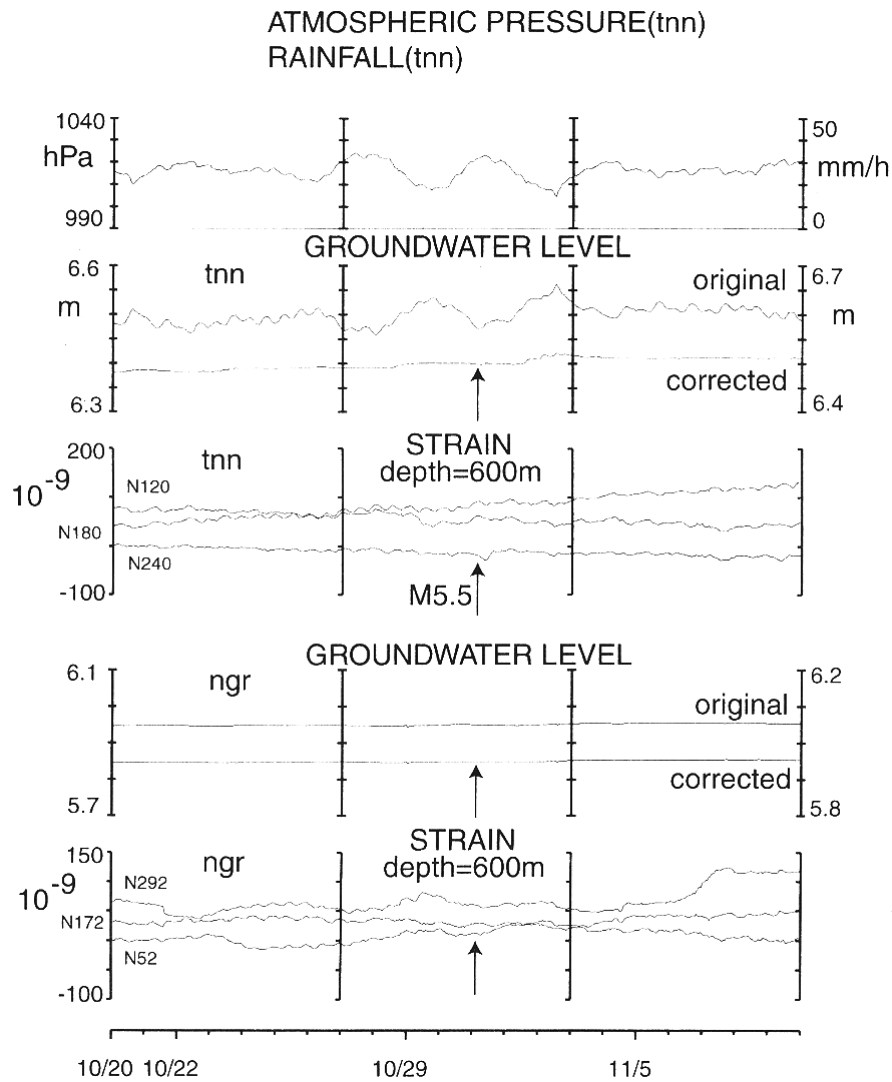
第4図 knm・hno・ohrの地下水位・地殻歪の観測結果。

Fig.4 Observational results of crustal strains and groundwater levels at knm, hno and ohr.



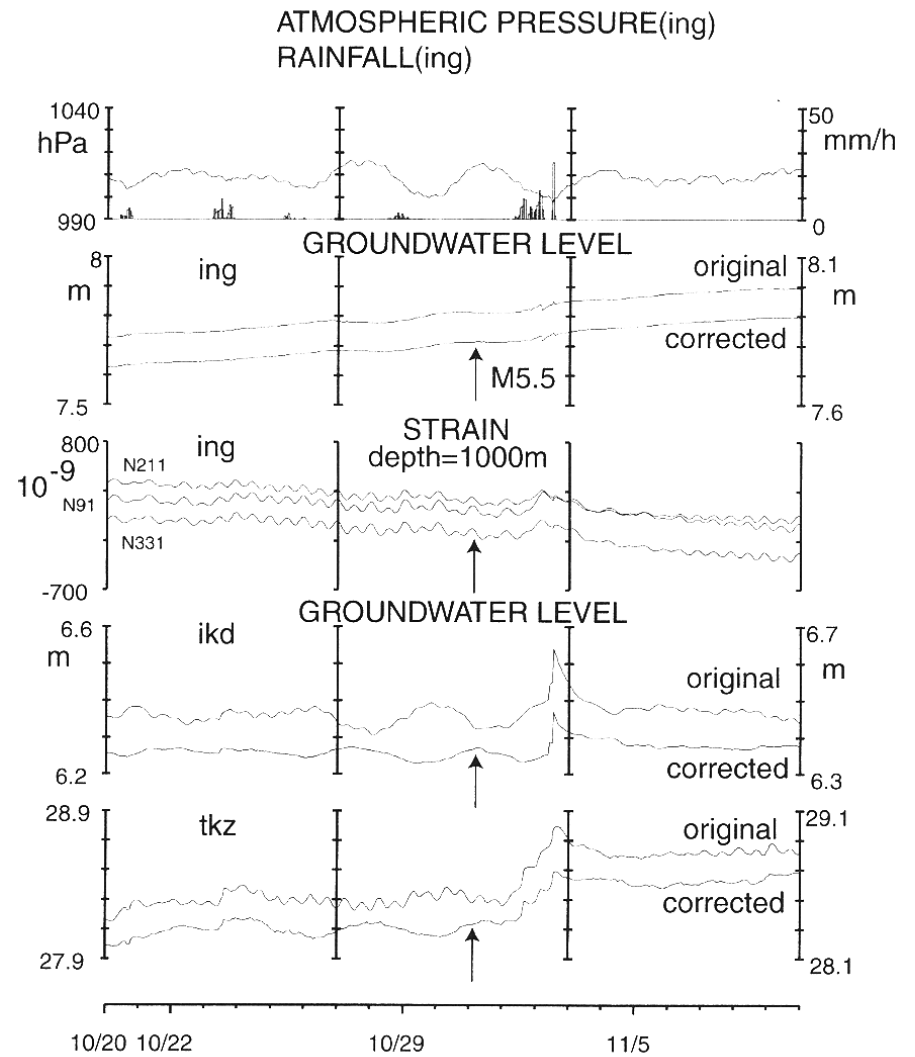
第5図 obk1・obk2・kry・gojにおける地下水位観測結果。

Fig.5 Observational results of groundwater levels at obk1, obk2, kry, and goj.



第 6 図 tnn・ngrにおける地下水位と地殻歪の観測結果。

Fig.6 Observational results of crustal strains and groundwater levels at tnn and ngr.



第 7 図 ing・ikd・tkzの地下水位・地殻歪の観測結果。

Fig.7 Observational results of crustal strains and groundwater levels at ing, ikd and tkz.